#### Лекция 7

### **Тема лекции: Характеристики идеального диода на основе р п перехода**

#### Цель лекции:

Рассмотреть основные физические процессы, определяющие вольтамперные характеристики идеального p—n перехода, вывести уравнение тока диода, обсудить прямое и обратное смещение, а также отклонения реальных диодов от идеализированной модели.

#### Основные вопросы:

- 1. Понятие идеального диода.
- 2. Физические процессы в р-п переходе
- 3. Уравнение тока идеального диода.
- 4. Прямое и обратное смещение диода.
- 5. Вольтамперная характеристика (ВАХ) идеального диода.
- 6. Температурная зависимость характеристик.

#### Краткие тезисы:

выпрямительного диода обычный составляет электроннопереход. Как было показано в главе 2, дырочный вольтамперная характеристика такого диода имеет ярко выраженную нелинейность, приведенную на рисунке 4.1а, б, и описывается уравнением (4.1). В прямом смещении ток диода инжекционный, большой по величине и представляет собой диффузионную компоненту тока основных носителей. При обратном смещении ток диода маленький по величине и представляет собой дрейфовую компоненту тока неосновных носителей. В состоянии равновесия суммарный ток, обусловленный диффузионными и дрейфовыми токами электронов и дырок, равен нулю.

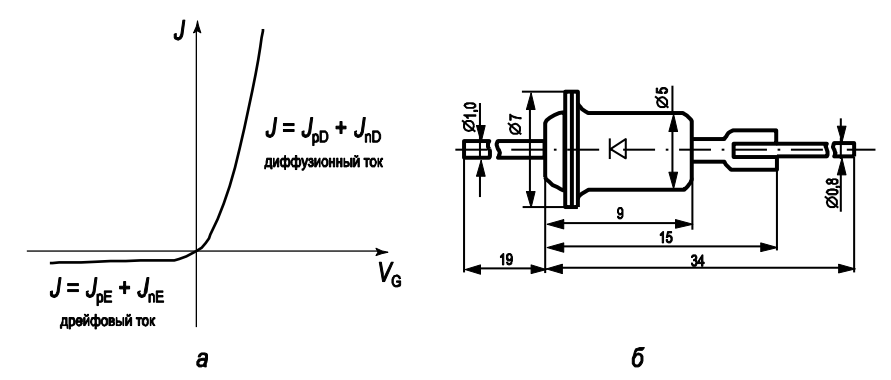


Рис. 4.1. - Параметры полупроводникового диода:

a) вольт-амперная характеристика;  $\delta$ ) конструкция корпуса

$$J = J_{s}(e^{\beta V_{G}} - 1), \tag{4.1}$$

$$j_{pE} - j_{nD} + j_{nE} - j_{pD} = 0$$
.

Для анализа приборных характеристик выпрямительного диода важными являются такие дифференциальные параметры, как коэффициент выпрямления, характеристичные сопротивления и емкости диода в зависимости от выбора рабочей точки.

#### Выпрямление в диоде

Одним из главных свойств полупроводникового диода на основе *p-n* перехода является резкая асимметрия вольт-амперной характеристики: высокая проводимость при прямом смещении и низкая при обратном. Это свойство диода используется в выпрямительных диодах. На рисунке 4.2 приведена схема, иллюстрирующая выпрямление переменного тока в диоде.

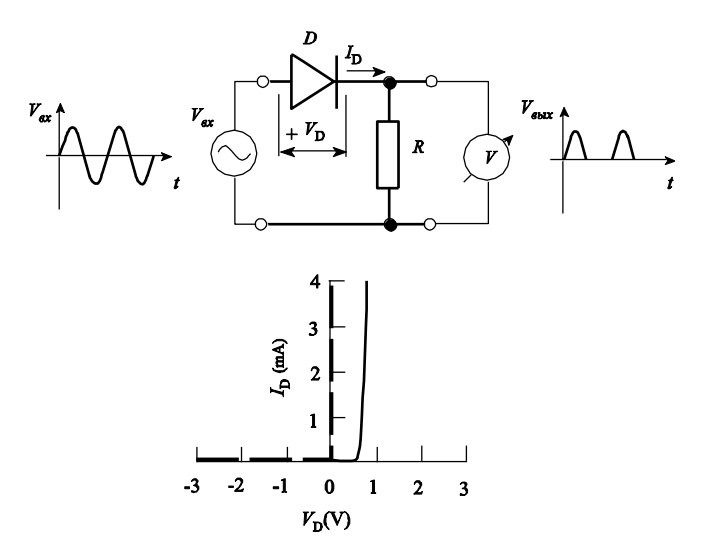


Рис. 4.2. - Схема, иллюстрирующая выпрямление переменного тока с помощью диода [10, 20]

Рассмотрим, каков будет коэффициент выпрямления идеального диода на основе p-n перехода. Для этого рассчитаем по уравнению (4.1) коэффициент выпрямления K как отношение прямого тока K обратному току диода при значениях напряжения  $U = \pm 0.01$  B; 0.025 B;  $\pm 0.1$  B; 0.25 B;  $\pm 1$  B. Получаем:

$$K = \frac{J^{+}}{J^{-}} = \frac{e^{\beta V_{G}} - 1}{e^{-\beta V_{G}} - 1}.$$
 (4.2)

Учтем, что величина  $\beta^{-1}$  при комнатной температуре составляет  $\beta^{-1} = 0.025$  В. Результаты расчета приведены в таблице.

$V_{\rm G},{ m B}$	± 0,01	0,025	±0,1	0,25	±1
К, отн.	1,0	1,1	55	$2,3\cdot10^4$	$2,8\cdot10^{20}$
ед.					

Как следует из таблицы и соотношения (4.2), при значениях переменного напряжения, модуль которого  $V_{\rm G}$  меньше, чем тепловой потенциал kT/q, полупроводниковый диод не выпрямляет переменный ток. Коэффициент выпрямления достигает приемлемых величин при значениях  $V_{\rm G}$  по крайней мере в 4 раза больших, чем тепловой потенциал kT/q, что при комнатной температуре T=300 К соответствует значению напряжения  $V_{\rm G}=\pm 0.1$  В.

#### Характеристическое сопротивление

Различают два вида характеристического сопротивления диодов: дифференциальное сопротивление  $r_{\rm D}$  и сопротивление по постоянному току  $R_{\rm D}$ .

Дифференциальное сопротивление определяется как

$$r_{\rm D} = \frac{dU}{dI} = \left[\frac{dI}{dU}\right]^{-1} = \beta j_{\rm s} e^{\beta V} + j_{\rm s} - j_{\rm s} = \left[\beta (I + I_{\rm s})\right]^{-1} = \frac{kT/q}{I + I_{\rm s}}.$$
 (4.3)

На прямом участке вольтамперной характеристики диода дифференциальное сопротивление  $r_{\rm D}$  невелико и составляет значение несколько Ом. Действительно, при значении прямого тока диода  $I=25~{\rm mA}$  и значении теплового потенциала  $kT/q=25~{\rm mB}$  величина дифференциального сопротивления  $r_{\rm D}$  будет равна  $r_{\rm D}=1~{\rm Om}$ . На обратном участке вольт-амперной характеристики диода дифференциальное сопротивление  $r_{\rm D}$  стремится к бесконечности, поскольку в идеальных диодах при обратном смещении ток не зависит от напряжения.

Сопротивление по постоянному току  $R_{\rm D}$  определяется как отношение приложенного напряжения  $V_{\rm G}$  к протекающему току I через диод:

$$R_{\rm D} = \frac{U}{I} = \frac{U}{I_0(e^{\beta U} - 1)}.$$
 (4.4)

На прямом участке вольтамперной характеристики сопротивление по постоянному току больше, чем дифференциальное сопротивление  $R_{\rm D} > r_{\rm D}$ , а на обратном участке – меньше  $R_{\rm D} < r_{\rm D}$ .

В точке вблизи нулевого значения напряжения  $V_G \ll kT/q$  значения сопротивления по постоянному току и дифференциального сопротивления совпадают. Действительно, разложив экспоненту в ряд в соотношении (4.4), получаем:

$$R_{\rm D} = \frac{kT}{q} \frac{1}{I_0} = r_{\rm D}. \tag{4.5}$$

Используя характерное значение для обратного тока диода  $I_0 = 25$  мкА, получаем величину сопротивления диода в нулевой точке  $R_{\rm D0} = r_{\rm D0} = 1$  кОм. На рисунке 4.3а приведена зависимость дифференциального сопротивления диода  $\Gamma Д402$  от величины тока при прямом смещении.

#### Эквивалентная схема диода.

С учетом полученных дифференциальных параметров можно построить эквивалентную малосигнальную схему диода для низких частот (рис. 4.3а, б, в). В этом случае наряду с уже описанными элементами — дифференциальным сопротивлением (рис. 4.3а) и емкостями диода (рис. 4.3б) необходимо учесть омическое сопротивление квазинейтрального объема базы  $(r_{06})$  диода. Сопротивление квазинейтрального объема эмиттера можно не учитывать, поскольку в диодах эмиттер обычно легирован существенно более сильно, чем база.

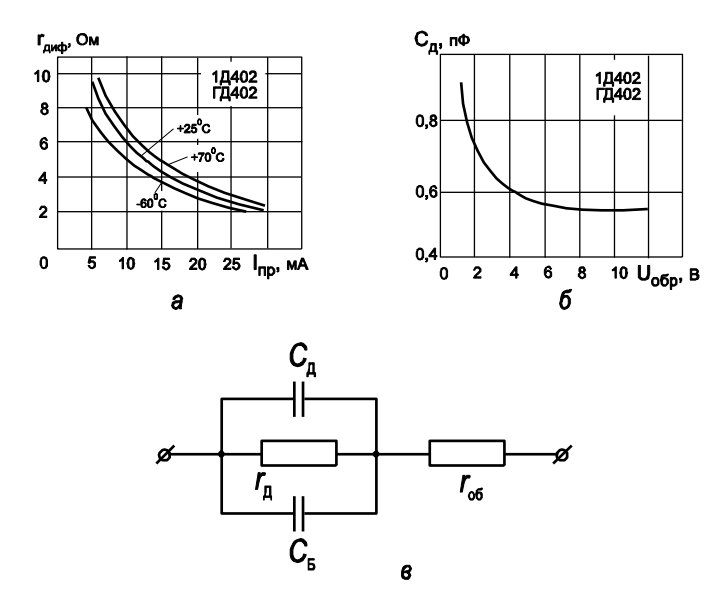


Рис. 4.3.- Приборные характеристики и эквивалентная малосигнальная схема для выпрямительных диодов [23, 24]:

- a) зависимость дифференциального сопротивления диода ГД402 от величины тока при прямом смещении;  $\delta$ ) зависимость емкости диода ГД402 от обратного напряжения;
  - в) эквивалентная малосигнальная схема диода для низких частот

#### Варикапы

Зависимость барьерной емкости  $C_{\rm B}$  от приложенного обратного напряжения  $V_{\rm G}$  используется для приборной реализации. Полупроводниковый диод, реализующий эту зависимость, называется *варикапом*. Максимальное значение емкости варикап имеет при нулевом напряжении  $V_{\rm G}$ . При увеличении обратного смещения емкость варикапа уменьшается. Функциональная зависимость емкости варикапа от напряжения определяется профилем легирования базы варикапа. В случае однородного легирования емкость обратно пропорциональна корню из приложенного напряжения  $V_{\rm G}$ . Задавая профиль легирования в базе варикапа  $N_{\rm D}(x)$ , можно получить различные зависимости емкости варикапа от напряжения  $C(V_{\rm G})$  — линейно убывающие, экспоненциально убывающие. На рисунке 4.4 показана зависимость емкости варикапов различных марок от приложенного напряжения.

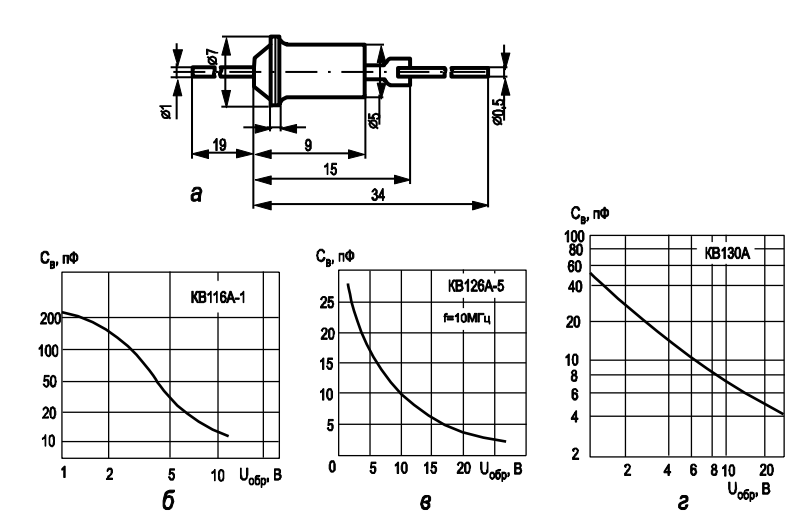


Рис. 4.4.- Конструкция варикапа (a) и зависимость емкости варикапа от напряжения для различных варикапов  $(\delta-{\rm KB116A}, \varepsilon-{\rm KB126A}, \varepsilon-{\rm KB130A})$  [23, 25]

# Влияние генерации, рекомбинации и объемного сопротивления базы на характеристики реальных диодов

В реальных выпрямительных диодах на основе p-n перехода при анализе вольт-амперных характеристик необходимо учитывать влияние генерационно-рекомбинационных процессов в обедненной области p-n перехода и падение напряжения на омическом сопротивлении базы p-n перехода при протекании тока через диод.

При рассмотрении влияния генерационно-рекомбинационных процессов в ОПЗ *р-п* перехода будем считать, что доминирующим механизмом генерационно-рекомбинационного процесса является механизм Шокли – Рида. В этом случае для моноэнергетического рекомбинационного уровня,

расположенного вблизи середины запрещенной зоны полупроводника, выражение для темпа генерации (рекомбинации) имеет вид:

$$-\frac{dn}{dt} = \frac{\gamma_{\rm n} \gamma_{\rm p} N_{\rm t} (pn - p_{\rm l} n_{\rm l})}{\gamma_{\rm n} (n + n_{\rm l}) + \gamma_{\rm p} (p + p_{\rm l})}.$$
 (4.6)

Параметры, входящие в соотношение 4.10, имеют следующие значения:

 $\gamma_{\rm n},\ \gamma_{\rm p}$  — вероятности захвата электронов и дырок на рекомбинационный уровень;

 $N_{\rm t}$  – концентрация рекомбинационных уровней.

*n*, *p* – концентрации неравновесных носителей.

 $n_1, p_1$  — концентрации равновесных носителей в разрешенных зонах при условии, что рекомбинационный уровень совпадает с уровнем Ферми.

Из уравнений 4.6 и 1.20 следует, что при прямом смещении ( $V_{\rm G}>0$ ) произведение концентрации неравновесных носителей  $p\cdot n$  будет больше, чем произведение концентрации равновесных носителей  $p_1\cdot n_1$  ( $p\cdot n>p_1\cdot n_1$ ). Следовательно, правая часть уравнения 4.6 будет положительная, а скорость изменения концентрации неравновесных носителей dn/dt будет отрицательной. Таким образом, концентрация неравновесных носителей будет убывать, и рекомбинация будет преобладать над генерацией.

При обратном смещении ( $V_{\rm G}$  < 0) соотношения будут обратными, концентрация неравновесных носителей будет возрастать, и генерация будет преобладать над рекомбинацией. Рассмотрим более подробно эти процессы.

## Влияние генерации неравновесных носителей в ОПЗ *p-n* перехода на обратный ток диода

При обратном смещении ( $V_{\rm G}$  < 0) p-n перехода из соотношения 1.20 следует, что

$$pn = n_i e^{\frac{\hat{O}_n - \hat{O}_p}{kT}} = n_i^2 e^{\beta U} \ll n_i^2.$$

Величина произведения концентрации равновесных носителей  $p_1 \cdot n_1$  будет равна квадрату собственной концентрации:  $p_1 n_1 = n_i^2$ .

В этом случае из уравнения 4.6 следует, что

$$\frac{dn}{dt} = \frac{\gamma_{\rm n} \gamma_{\rm p} N_{\rm t}}{\gamma_{\rm p} (n+n_1) + \gamma_{\rm p} (p+p_1)} n_i^2.$$

#### Тулегенова Аида Тулегенкызы

Учтем, что значения концентрации неравновесных носителей p, n будут меньше концентрации равновесных носителей  $p_1$  и  $n_1$ :  $p < p_1$ ,  $n < n_1$ , а величины  $n_1$  и  $p_1$  определяются через объемное положение уровня Ферми  $\varphi_{0t}$  следующим образом:

$$n_1 = n_i e^{\beta \varphi_{01}}; \quad p_1 = n_i e^{-\beta \varphi_{01}}.$$

Тогда получаем:

$$\frac{dn}{dt} = \frac{\gamma_{\rm n} \gamma_{\rm p} N_{\rm t}}{\gamma_{\rm n} e^{\beta \varphi_{01}} + \gamma_{\rm n} e^{-\beta \varphi_{01}}} n_i = \frac{n_i}{\tau_{\rm e}}, \qquad (4.7)$$

где  $\tau_{\rm e}$  — эффективное время жизни неравновесных носителей, определяемое как

$$\tau_{e}^{-1} = \frac{\gamma_{n} \gamma_{p} N_{t}}{\gamma_{n} e^{\beta \varphi_{01}} + \gamma_{n} e^{-\beta \varphi_{01}}}.$$
(4.8)

Из соотношения 4.7 следует, что скорость изменения концентрации неравновесных носителей dn/dt будет положительной, следовательно, генерация будет преобладать над рекомбинацией. Для того чтобы рассчитать генерационный ток  $J_{\text{ген}}$ , необходимо проинтегрировать по ширине области пространственного заряда W:

$$J_{\tilde{\text{a}}\tilde{\text{a}}\tilde{\text{i}}} = \int_{0}^{W} q \frac{dn}{dt} dx \approx q \frac{dn}{dt} W = \frac{q n_{i} W}{\tau_{e}}. \tag{4.9}$$

Рассмотрим зависимость генерационного тока  $J_{\text{ген}}$  от обратного напряжения  $V_{\text{G}}$ , приложенного к диоду, а также от температуры T (рис. 4.5).

Зависимость генерационного тока  $J_{\rm reh}$  от напряжения  $V_{\rm G}$  будет определяться зависимостью ширины области пространственного заряда W от напряжения  $V_{\rm G}$ . Поскольку ширина области пространственного заряда W определяется как  $W = \sqrt{\frac{2\varepsilon_{\rm s}\varepsilon_{\rm 0}(U_{\rm i}{}_{\rm i}{}_{\rm o}{}^{\rm f}+\varphi_{\rm 0})}{qN_{\rm D}}}$ , то генерационный ток  $J_{\rm reh}$  будет пропорционален корню из напряжения:  $J_{\rm aai} \sim \sqrt{V_{\rm G}}$ .

Величина дрейфовой компоненты обратного тока  $J_0$  несимметричного  $p^+$ -n перехода равна:

$$J_0 = \frac{qL_{\rm p}n_{\rm p0}}{\tau_{\rm p}} = \frac{qL_{\rm p}}{\tau_{\rm p}} \frac{n_i^2}{N_{\rm A}}.$$

Сделаем оценку отношения теплового  $J_0$  и генерационного  $J_{\text{ген}}$  токов для диодов, изготовленных из различных полупроводников:

$$\frac{J_{\tilde{a}\tilde{a}i}}{J_0} = \frac{W}{L_{\rm n}} \frac{N_{\rm D}}{n_i} \,. \tag{4.10}$$

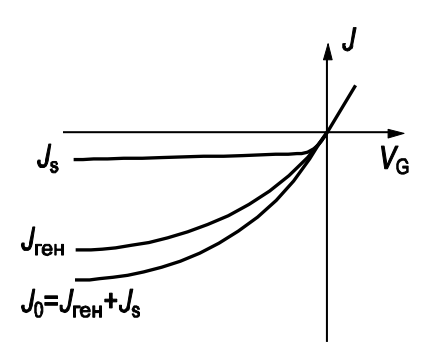


Рис. 4.5.- Вклад генерационного тока  $J_{\rm reh}$  в обратный ток p-n перехода

Для германия (Ge) характерны следующие параметры: W=1 мкм;  $L_{\rm n}=150$  мкм,  $n_{\rm i}=10^{13}$  см<sup>-3</sup>,  $N_{\rm D}=10^{15}$  см<sup>-3</sup>. Подставляя эти величины в соотношение 4.10, получаем, что генерационный ток и тепловой ток одинаковы,  $I_{\rm reh}\sim I_{\rm s}$ .

Для кремния (Si) характерны следующие параметры: W=1 мкм;  $L_{\rm n}=500$  мкм,  $n_{\rm i}=10^{10}$  см<sup>-3</sup>,  $N_{\rm D}=10^{15}$  см<sup>-3</sup>. Подставляя эти величины в соотношение 4.10, получаем, что генерационный ток много больше, чем тепловой ток,  $I_{\rm reh}/I_{\rm s}\sim 2\cdot 10^2$ .

Таким образом, для кремниевых диодов на основе p-n перехода в обратном направлении преобладает генерационный ток, а для германиевых диодов — тепловой ток.

Как следует из уравнения 4.10, соотношения генерационого и теплового токов зависят от собственной концентрации  $n_i$ . Если собственная концентрация  $n_i$  мала (широкозонный полупроводник), — преобладает генерационный ток, если значение  $n_i$  велико (узкозонный полупроводник), — преобладает тепловой ток.

### Вопросы для контроля изучаемого материала:

- 1. Что понимается под идеальным диодом?
- 2. Как формируется р-п переход и область пространственного заряда?
- 3. Выведите уравнение тока идеального диода (закон Шокли).
- 4. Как изменяется барьерная высота при прямом и обратном смещении?
- 5. Объясните физический смысл тока насыщения.
- 6. Нарисуйте типичную вольтамперную характеристику идеального диода.
- 7. Какие факторы вызывают отклонения реальных диодов от идеальных?

#### Тулегенова Аида Тулегенкызы

8. Как изменяется работа диода при повышении температуры?

#### Список литературных источников:

- 1. Соколов В. И. Физика и технология полупроводников. М.: МИФИ, 2018.
- 2. Трифонов Е. Н. Электронные процессы в твёрдых телах. М.: Наука, 2015.
- 3. Streetman, B. G., Banerjee, S. Solid State Electronic Devices. Prentice Hall, 2016.
- 4. Pierret, R. F. Semiconductor Device Fundamentals. Addison-Wesley, 1996.
- 5. Sze, S. M., Ng, K. K. Physics of Semiconductor Devices. Wiley, 2007.
- 6. Kittel, C. Introduction to Solid State Physics. Wiley, 2018.
- 7. Millman, J., Halkias, C. Electronic Devices and Circuits. McGraw-Hill, 2010.